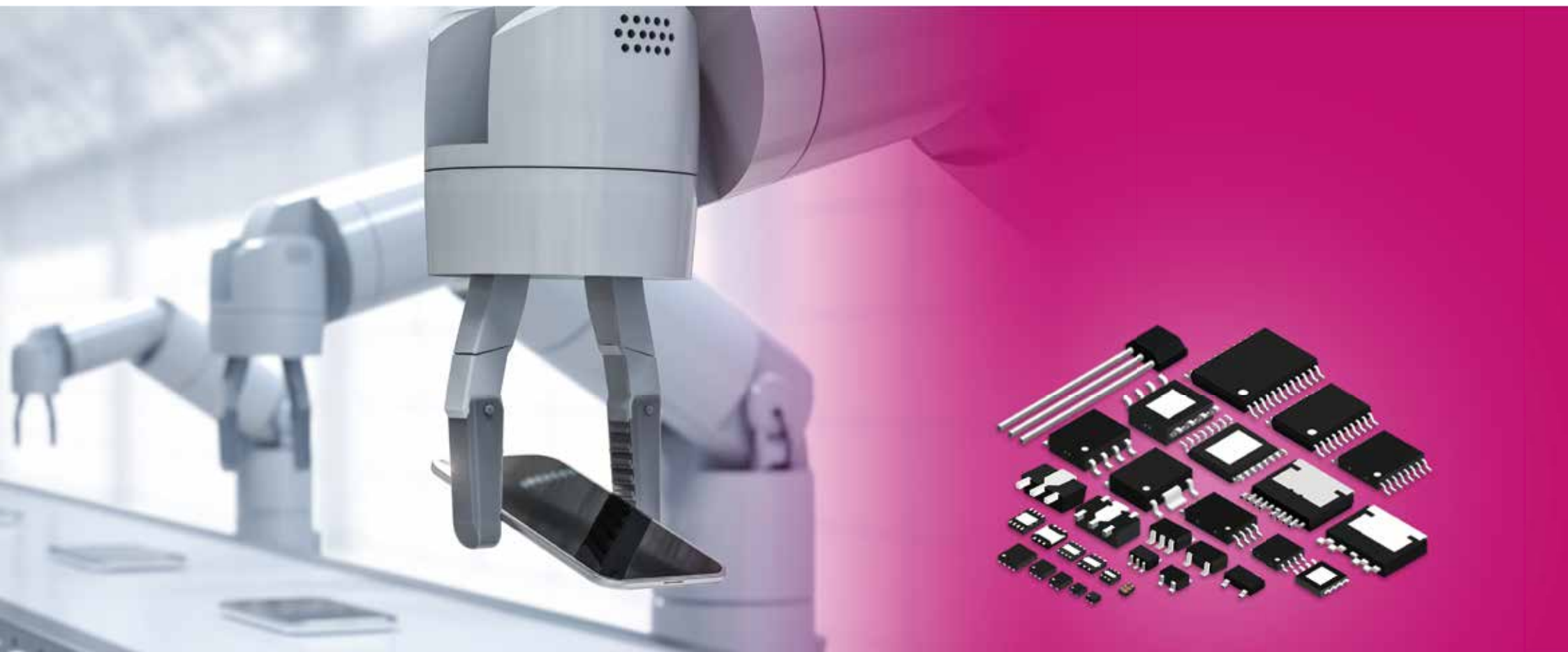


产品目录

放大器 (模拟IC)、定时器IC、ASSP

2023



特点	系列	页
放大器 (模拟IC)		
运算放大器		
1电路/2电路 0.5 μ A Rail-to-Rail CMOS运算放大器	S-89430/89431系列	7-3
1电路/2电路 CMOS运算放大器	S-89110/89120系列	7-3
2电路 CMOS运算放大器	S-89130/89140系列	7-3
2电路 低输入失调电压 CMOS运算放大器	S-89713系列	7-3
2电路 工作温度125°C、低输入失调电压的CMOS运算放大器	S-89630A	7-4
比较器		
1电路 0.7 μ A Rail-to-Rail CMOS比较器	S-89530A/89531A系列	7-4
1电路 CMOS比较器	S-89210/89220系列	7-4
2电路 CMOS比较器	S-89230/89240系列	7-4
定时器IC、ASSP		
实时时钟		
3线 实时时钟	S-35190A	7-5
2线 实时时钟	S-35390A	7-5
2线 实时时钟	S-35391A	7-5
3线 实时时钟	S-35192A	7-5
2线 实时时钟	S-35392A	7-6
2线 实时时钟	S-35399A03	7-6
唤醒定时器IC		
内置水晶振子的可编程序唤醒定时器IC	S-35710M	7-7
可编程序唤醒定时器IC	S-35710系列	7-7
可设置引脚的唤醒定时器IC	S-35720系列	7-7
间隔定时器IC		
可设置引脚的间隔定时器IC	S-35730	7-8
可编程序间隔定时器IC	S-35740	7-8

特点	系列	页
计数器IC		
2线 (I ² C-bus) 接口的计数器IC	S-35770	7-8
电源顺序控制器		
电源顺序控制器	S-77100/77101系列	7-8
无线供电IC		
无线供电 受电控制IC	S-8471系列	7-9
无线供电 带充电功能 受电控制IC	S-8473系列	7-9
无线供电 送电控制IC	S-8474系列	7-9
CMOS IC封装		
封装一览表		7-10

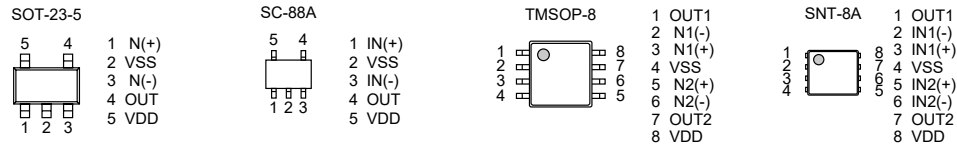
S-89430/89431系列

1电路/2电路
0.5 μ A Rail-to-Rail CMOS运算放大器

● 特点

- 与传统的通用运算放大器相比,可以低电压工作:
 $V_{DD} = 0.9\text{ V} \sim 5.5\text{ V}$
- 低消耗电流 (每个电路):
 $I_{DD} = 0.5\ \mu\text{A}$ (典型值)
- 宽输入及输出电压范围 (Rail-to-Rail):
 $V_{CMR} = V_{SS} \sim V_{DD}$
- 低输入失调电压:
 $V_{IO} = 10.0\text{ mV}$ (最大值) (S-89430 系列)
 $V_{IO} = 5.0\text{ mV}$ (最大值) (S-89431 系列)
- 利用内部相位补偿,故不需外接元件
- 无铅、Sn 100%、无卤素^{*1}

*1 详情请参阅“■ 产品型号的构成”。



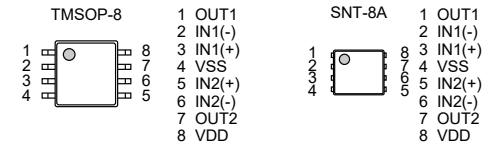
S-89130/89140系列

2电路
CMOS运算放大器

● 特点

- 低电压工作 :
 $V_{DD} = 2.7\text{ V} \sim 5.5\text{ V}$
- 低消耗电流 (每个电路):
 $I_{DD} = 1.00\text{ mA}$ (典型值) (S-89130 系列、 $V_{DD} = 5.0\text{ V}$)
 $I_{DD} = 0.27\text{ mA}$ (典型值) (S-89140 系列、 $V_{DD} = 5.0\text{ V}$)
- 低输入失调电压 :
 $V_{IO} = 6.0\text{ mV}$ (最大值) (S-89130 系列)
 $V_{IO} = 7.0\text{ mV}$ (最大值) (S-89140 系列)
- 工作温度范围 :
 $-40^{\circ}\text{C} \sim +125^{\circ}\text{C}$
- 利用内部相位补偿,故不需外接元件
- 无铅 (Sn 100%)、无卤素^{*1}

*1. 详情请参阅“■ 产品型号的构成”。



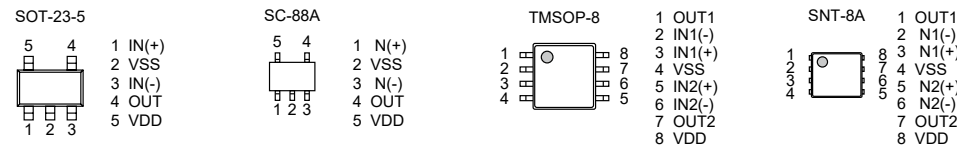
S-89110/89120系列

1电路/2电路
CMOS运算放大器

● 特点

- 与传统的通用运算放大器相比,可以低电压工作 :
 $V_{DD} = 1.8\text{ V} \sim 5.5\text{ V}$
- 低消耗电流 (每个电路):
 $I_{DD} = 50\ \mu\text{A}$ (S-89110 系列)
 $I_{DD} = 10\ \mu\text{A}$ (S-89120 系列)
- 低输入失调电压 :
4.0 mV (最大值)
- 利用内部相位补偿,故不需外接元件
- 全振幅输出
- 无铅、Sn 100%、无卤素^{*1}

*1. 详情请参阅“■ 产品型号的构成”。

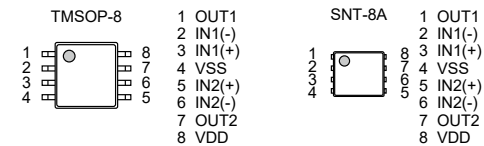


S-89713系列

2电路
低输入失调电压 CMOS运算放大器

● 特点

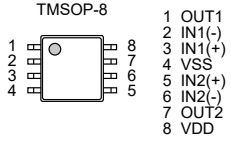
- 输入失调电压低 :
 $V_{IO} = 10\ \mu\text{V}$ (最大值) ($T_a = +25^{\circ}\text{C}$)
- 工作电源电压范围 :
 $V_{DD} = 2.65\text{ V} \sim 5.50\text{ V}$
- 消耗电流低 :
 $I_{DD} = 165\ \mu\text{A}$ (典型值) (1个电路、 $T_a = +25^{\circ}\text{C}$)
 $I_{DD} = 330\ \mu\text{A}$ (典型值) (2个电路、 $T_a = +25^{\circ}\text{C}$)
- 有内部相位补偿:
不需外接器元件
- Rail-to-Rail的输入与输出
- 工作温度范围 :
 $T_a = -40^{\circ}\text{C} \sim +85^{\circ}\text{C}$
- 无铅 (Sn 100%)、无卤素



S-89630A 2电路 工作温度125°C、 低输入失调电压的CMOS运算放大器

● 特点

- 输入失调电压低： $V_{IO} = +50 \mu\text{V}$ (最大值) ($T_a = -40^\circ\text{C} \sim +125^\circ\text{C}$)
- 输入失调电压温漂低： $\frac{\Delta V_{IO}}{\Delta T_a} = \pm 25 \text{ nV}/^\circ\text{C}$ (典型值) ($V_{DD} = 30.0 \text{ V}$, $T_a = -40^\circ\text{C} \sim +125^\circ\text{C}$)
- 工作电源电压范围： $V_{DD} = 4.0 \text{ V} \sim 36.0 \text{ V}$ (单电源)
 $V_{DD} = \pm 2.0 \text{ V} \sim \pm 18.0 \text{ V}$ (双电源)
- 消耗电流低 (1个电路)： $I_{DD} = 250 \mu\text{A}$ (典型值)
- 输入噪声电压低： $V_{NOISE_pp} = 0.8 \mu\text{Vpp}$ (典型值) ($f = 0.1 \text{ Hz} \sim 10 \text{ Hz}$)
- 输入噪声电压密度低： $V_{NOISE} = 25 \text{ nV}/\sqrt{\text{Hz}}$ (典型值) ($f = 1 \text{ kHz}$)
- 内置输出电流限制电路：
限制输出端子短路时的过电流
不需外接元器件
- 有内部相位补偿：
- Rail-to-Rail的输入与输出
- 工作温度范围： $T_a = -40^\circ\text{C} \sim +125^\circ\text{C}$
- 无铅 (Sn 100%)、无卤素

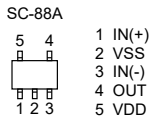


S-89530A/89531A系列 1电路 0.7 μA Rail-to-Rail CMOS比较器

● 特点

- 与传统的通用比较器相比,能以低电压工作： $V_{DD} = 0.9 \text{ V} \sim 5.5 \text{ V}$
- 低消耗电流： $I_{DD} = 0.7 \mu\text{A}$ (典型值)
- 利用Rail-to-Rail 实现宽输入及输出电压范围： $V_{CMR} = V_{SS} \sim V_{DD}$
- 低输入失调电压： 5.0 mV (最大值)
- 无铅、Sn 100%、无卤素^{*1}

*1. 详情请参阅“**■ 型号编码一览**”。

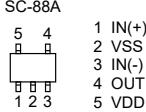


S-89210/89220系列 1电路 CMOS比较器

● 特点

- 与传统的通用比较器相比,能以低电压工作： $V_{DD} = 1.8 \text{ V} \sim 5.5 \text{ V}$
- 低消耗电流： $I_{DD} = 50 \mu\text{A}$ 典型值 (S-89210系列)
 $I_{DD} = 10 \mu\text{A}$ 典型值 (S-89220系列)
 4.0 mV (最大值)
- 低输入失调电压：
- 无铅、无卤素^{*1}

*1. 详情请参阅“**■ 产品型号的构成**”。

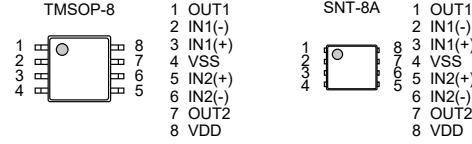


S-89230/89240系列 2电路 CMOS比较器

● 特点

- 与传统的通用比较器相比,能以低电压工作： $V_{DD} = 1.8 \text{ V} \sim 5.5 \text{ V}$
- 低消耗电流 (每个电路)： $I_{DD} = 23 \mu\text{A}$ 典型值 (S-89230系列)
 $I_{DD} = 5 \mu\text{A}$ 典型值 (S-89240系列)
 4.0 mV (最大值)
- 低输入失调电压：
- 全振幅输出
- 双比较器 (带有2个电路)
- 无铅、Sn 100%、无卤素^{*1}

*1. 详情请参阅“**■ 产品型号的构成**”。



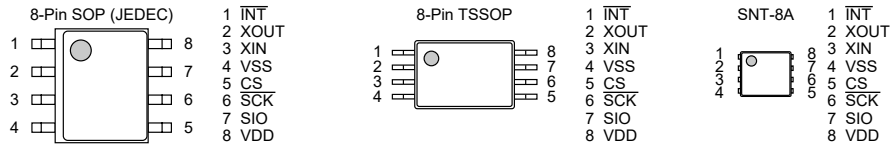
S-35190A

3线 实时时钟

● 特点

- 低消耗电流 : 0.25 μ A (典型值) ($V_{DD} = 3.0$ V, $T_a = +25$ C)
- 宽工作电压范围 : 1.3 V ~ 5.5 V
- 内置时钟校正功能
- 内置用户自由寄存器
- 3线 (微型线路) 方式的CPU接口
- 内置报警中断器
- 内置低电源电压检测及电源接通时的标记生成电路
- 内置到2099年为止的自动日历, 闰年自动运算功能
- 内置稳压电路
- 内置32.768 kHz晶振电路 (内置 C_d 、外接 C_g)
- 无铅、Sn 100%、无卤素*1

*1. 详情请参阅 "■ 产品型号的构成"。



S-35391A

2线 实时时钟

● 特点

- 低消耗电流 : 0.25 μ A (典型值) ($V_{DD} = 3.0$ V, $T_a = +25$ C)
- 宽工作电压范围 : 1.3 V ~ 5.5 V
- 内置时钟校正功能
- 内置用户自由寄存器
- 2线 (I²C-bus) 方式的CPU接口
- 内置报警中断器
- 内置低电源电压检测及电源接通时的标记生成电路
- 内置到2099年为止的自动日历, 闰年自动运算功能
- 内置稳压电路
- 内置32.768 kHz晶振电路 (内置 C_d 、外接 C_g)
- 无铅、Sn 100%、无卤素*1

*1. 详情请参阅 "■ 产品型号的构成"。



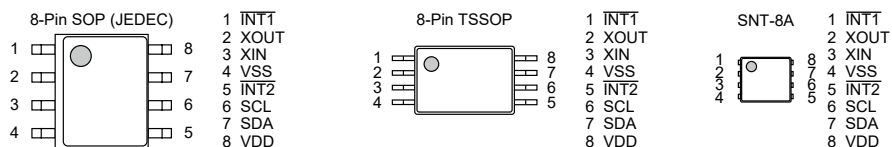
S-35390A

2线 实时时钟

● 特点

- 低消耗电流 : 0.25 μ A (典型值) ($V_{DD} = 3.0$ V, $T_a = +25$ C)
- 宽工作电压范围 : 1.3 V ~ 5.5 V
- 内置时钟校正功能
- 内置用户自由寄存器
- 2线 (I²C-bus) 方式的CPU接口
- 内置报警中断器
- 内置低电源电压检测及电源接通时的标记生成电路
- 内置到2099年为止的自动日历, 闰年自动运算功能
- 内置稳压电路
- 内置32.768 kHz晶振电路 (内置 C_d 、外接 C_g)
- 无铅、Sn 100%、无卤素*1

*1. 详情请参阅 "■ 产品型号的构成"。

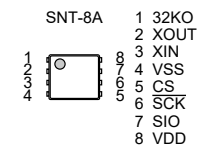


S-35192A

3线 实时时钟

● 特点

- 低消耗电流 : 0.45 μ A (典型值) ($V_{DD} = 3.0$ V, $T_a = +25$ C)
- 稳定输出32.768 kHz的时钟脉冲 (N沟道开路漏极输出)
- 宽工作电压范围 : 1.3 V ~ 5.5 V
- 内置时钟校正功能
- 内置用户自由寄存器
- 3线 (微型线路) 方式的CPU接口
- 内置报警器
- 内置低电压检测及电源接通时的标记生成电路
- 内置到2099年为止的自动日历, 闰年自动运算功能
- 内置稳压电路
- 内置32.768 kHz晶振电路 (内置 C_d 、外接 C_g)
- 无铅 (Sn 100%)、无卤素

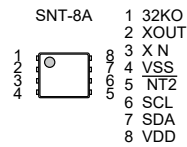


S-35392A

2线 实时时钟

● 特点

- 低消耗电流 : 0.45 μ A (典型值) ($V_{DD} = 3.0$ V, $T_a = +25$ C)
- 常时稳定输出32.768 kHz时钟脉冲 (N沟道开路漏极输出)
- 宽工作电压范围 : 1.3 V ~ 5.5 V
- 内置时钟校正功能
- 内置用户自由寄存器
- 2线 (I²C-bus) 方式的CPU接口
- 内置报警中断器
- 内置低电源电压检测及电源接通时的标记生成电路
- 内置到2099年为止的自动日历, 闰年自动运算功能
- 内置稳压电路
- 内置32.768 kHz晶振电路 (内置C_d、外接C_g)
- 无铅 (Sn 100%)、无卤素

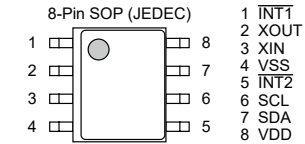


S-35399A03

2线 实时时钟

● 特点

- 低消耗电流 : 0.34 μ A (典型值) ($V_{DD} = 3.0$ V, $T_a = +25^\circ$ C)
- 宽工作电压范围 : 1.3 V ~ 5.5 V
- 内置时钟校正功能
- 内置24位二进制上升计数器
- 内置用户自由寄存器
- 2线 (I²C-bus) 方式的CPU接口
- 内置报警中断器
- 内置低电源电压检测及电源接通时的标记生成电路
- 内置到2099年为止的自动日历, 闰年自动运算功能
- 内置稳压电路
- 内置32.768 kHz晶振电路 (内置C_d、外接C_g)
- 无铅 (Sn 100%)、无卤素

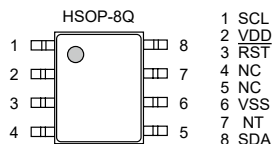


S-35710M

内置水晶振子的可程序唤醒定时器IC

● 特点

- 内置32.768 kHz水晶振子 :
- 唤醒功能 (报警中断功能) : 1秒 ~ 194日 (约半年) 为止可按1秒为单位来进行设置
- 低消耗电流 : 0.25 μ A (典型值) ($V_{DD} = 3.0$ V、 $T_a = +25^{\circ}$ C)
- 宽工作电压范围 : 1.8 V ~ 5.5 V
- 2线 (I²C-bus) 方式的CPU接口
- 工作温度范围 : $T_a = -40^{\circ}$ C ~ $+85^{\circ}$ C
- 无铅 (Sn 100%)、无卤素

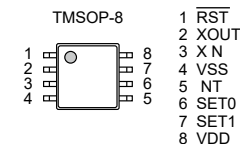


S-35720系列

可设置引脚的唤醒定时器IC

● 特点

- 唤醒功能 (报警中断功能) : 可设置唤醒时间 (中断时间) 1秒 ~ 194日 (约半年) 为止可按1秒为单位选择选项
- 低消耗电流 : 0.2 μ A (典型值) (水晶振子 : $C_L = 6.0$ pF、 $V_{DD} = 3.0$ V、 $T_a = +25^{\circ}$ C)
- 宽工作电压范围 : 1.8 V ~ 5.5 V
- 内置32.768 kHz晶振电路
- 工作温度范围 : $T_a = -40^{\circ}$ C ~ $+85^{\circ}$ C
- 无铅 (Sn 100%)、无卤素

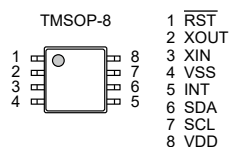


S-35710系列

可程序唤醒定时器IC

● 特点

- 唤醒功能 (报警中断功能) : 1秒 ~ 194日 (约半年) 为止可按1秒为单位来进行设置
- 低消耗电流: 0.2 μ A (典型值) (水晶振子 : $C_L = 6.0$ pF、 $V_{DD} = 3.0$ V、 $T_a = +25^{\circ}$ C)
- 宽工作电压范围 : 1.8 V ~ 5.5 V
- 2线 (I²C-bus) 方式的CPU接口
- 内置32.768 kHz晶振电路
- 工作温度范围 : $T_a = -40^{\circ}$ C ~ $+85^{\circ}$ C
- 无铅 (Sn 100%)、无卤素

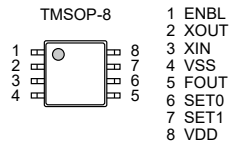


S-35730

可设置引脚的间隔定时器IC

● 特点

- 间隔信号输出功能 (时钟脉冲输出功能) : 可选择间隔信号 (时钟脉冲频率)、带输出控制端子
- 低消耗电流 : 4.0 μ A (典型值) (水晶振子 : $C_L = 6.0$ pF、 $V_{DD} = 3.0$ V、ENBL端子 = "H"、 $T_a = +25^\circ\text{C}$ 、FOUT端子输出 = 32.768 kHz)
- 宽工作电压范围 : 1.8 V ~ 5.5 V
- 内置32.768 kHz晶振电路
- 工作温度范围 : $T_a = -40^\circ\text{C} \sim +85^\circ\text{C}$
- 无铅 (Sn 100%)、无卤素

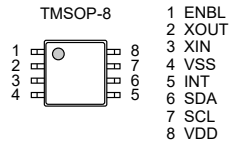


S-35740

可编程序间隔定时器IC

● 特点

- 间隔信号输出功能 : (固定周期中断信号输出功能) 可设定间隔信号的频率和占空比, 带输出控制端子
- 低消耗电流 : 0.2 μ A (典型值) (水晶振子: $C_L = 6.0$ pF、 $V_{DD} = 3.0$ V、ENBL端子 = "H"、 $T_a = +25^\circ\text{C}$)
- 宽工作电压范围 : 1.8 V ~ 5.5 V
- 2线 (I²C-bus) 方式的CPU接口
- 内置32.768 kHz晶振电路
- 工作温度范围 : $T_a = -40^\circ\text{C} \sim +85^\circ\text{C}$
- 无铅 (Sn 100%)、无卤素

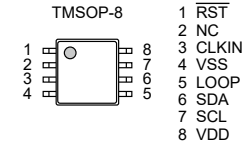


S-35770

2线 (I²C-bus) 接口的计数器IC

● 特点

- 外部时钟信号计数功能 : 可在0 ~ 16,777,215的范围内计数, 并带计数器一个巡回标记输出端子
- 低消耗电流 : 0.01 μ A (典型值) ($V_{DD} = 3.0$ V、 $T_a = +25^\circ\text{C}$ 、非通信时 (CLKIN端子 = 0 V))
- 宽工作电压范围 : 1.5 V ~ 5.5 V
- 2线 (I²C-bus) 方式的CPU接口
- 工作温度范围 : $T_a = -40^\circ\text{C} \sim +85^\circ\text{C}$
- 无铅 (Sn 100%)、无卤素

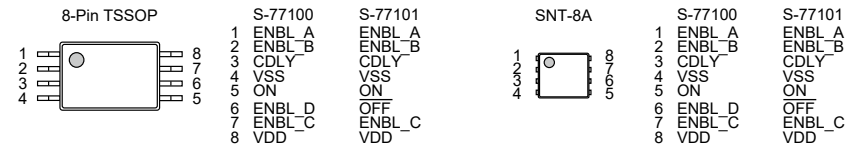


S-77100/77101系列

电源顺序控制器

● 特点

- 可简单地控制多个电源的顺序
- 可通过外接电容器设定延迟时间
- 可用1个输入信号来控制4通道的顺序 (S-77100系列)
- 可分别用不同的输入信号来控制上电顺序和断电顺序 (S-77101系列)
- 可通过级联连接来增加使能输出信号
- 低消耗电流 : 3.0 μ A (典型值) (断电期间、电源安定期间、 $V_{DD} = 3.3$ V、 $T_a = +25^\circ\text{C}$)
- 宽工作电压范围 : 2.2 V ~ 5.5 V
- 工作温度范围 : $T_a = -40^\circ\text{C} \sim +85^\circ\text{C}$
- 可选择输出方式 : CMOS输出、N沟道开路漏极输出
- 可选择输出逻辑 : 动态 "H"、动态 "L"
- 无铅 (Sn 100%)、无卤素

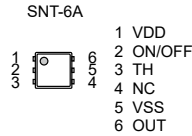


S-8471系列

无线供电
受电控制IC

● 特点

- 消耗电流 : 工作时 : $I_{SS1} = 30 \mu\text{A}$ (典型值)
休眠时 : $I_{SS2} = 1.0 \mu\text{A}$ (最大值)
- 过电压检测电压范围 : 在4.00 V ~ 5.50 V的范围内, 可以50 mV为进阶单位来选择
- 过电压检测精度 : $\pm 2.0\%$
- 可选择ON / OFF端子控制逻辑 : 动态 "H"、动态 "L"
- 可选择ON / OFF端子内部电阻连接 : 无、上拉、下拉
- 内置ON / OFF控制电路
- 高温保护功能 : 通过在TH端子上连接热敏电阻可以使用
- 工作温度范围 : $T_a = -40^\circ\text{C} \sim +85^\circ\text{C}$
- 无铅 (Sn 100%)、无卤素



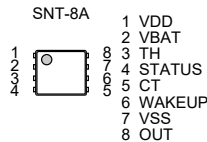
S-8473系列

无线供电
带充电功能 受电控制IC

● 特点

- 电源电压 : $V_{DD} = 2.2 \text{ V} \sim 5.0 \text{ V}$
- 充电工作进行时消耗电流 : $I_{SS1} = 250 \mu\text{A}$ (典型值)
- 休眠时VBAT端子消耗电流 : $I_{PDN} = 1.0 \mu\text{A}$ (最大值)
- UVLO检测电压 : $V_{UVLO-} = 2.0 \text{ V}$ (典型值)
- 对小型锂离子可充电电池的充电功能
 - 充电电流 : $I_{LIM} = 33 \text{ mA}$ (典型值)
 - 预充电电流 : $I_{PRE} = 3.3 \text{ mA}$ (典型值)
 - 预充电结束电压 : 2.4 V ~ 3.4 V (50 mV进阶)
 - 充电结束电压 : 4.0 V ~ 4.5 V (50 mV进阶)
 - 再充电开始电压 : 3.6 V ~ 4.45 V¹
 - 短路检测电压 : 1.5 V ~ 2.0 V (50 mV进阶)
 - 充电定时器功能 : 经过4.0小时后停止充电工作 ($C_{CT} = 4.7 \text{ nF}$)
通过在CT端子上连接外接电容器可以设定时间
- 高温 / 低温保护功能 : 通过在TH端子上连接热敏电阻可以使用
- 状态显示功能 : 通过在STATUS端子上连接外接LED可以使用
充电工作进行时 : 亮灯
充电工作停止时 : 灭灯
检测到异常时 : 闪烁
- 工作温度范围 : $T_a = -40^\circ\text{C} \sim +85^\circ\text{C}$
- 无铅 (Sn 100%)、无卤素

*1. 再充电开始电压 = 充电结束电压 - 充电滞后电压
(充电滞后电压可在0.05 V ~ 0.40 V的范围内, 以50 mV为进阶单位进行选择)

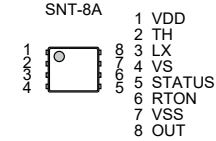


S-8474系列

无线供电
送电控制IC

● 特点

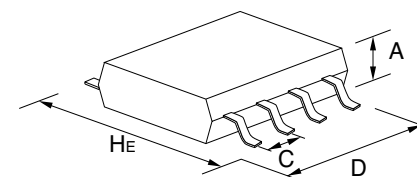
- 电源电压 : $V_{DD} = 4.5 \text{ V} \sim 6.5 \text{ V}$
- 消耗电流 : 工作时 : $I_{SS1} = 200 \mu\text{A}$ (典型值)
待机时 : $I_{STB} = 3.0 \mu\text{A}$ (最大值)
- UVLO检测电压 : $V_{UVLO-} = 4.1 \text{ V}$ (典型值)
- 通过在RTON端子上连接外接电阻可以设定 t_{ON} 时间
- 受电组件待机时, 通过间歇工作可以节省电力
激活时间 : $t_{ACT} = 5.0 \text{ ms}$ (典型值)
休眠时间 : $t_{SLEEP} = 25.0 \text{ ms}$ (典型值)
- 可选择TH端子检测电压 : 0.667 V、0.577 V、0.500 V、0.429 V、0.370 V
- 内置受电检测电路
- 状态显示功能 : 通过在STATUS端子上连接外接LED可以使用
连续工作模式 : 亮灯
间歇工作模式 : 灭灯
高温保护模式 : 闪烁
- 高温保护功能 : 通过在TH端子上连接热敏电阻可以使用
- 工作温度范围 : $T_a = -40^\circ\text{C} \sim +85^\circ\text{C}$
- 无铅 (Sn 100%)、无卤素



封装类型	引脚数	封装名称	封装尺寸(mm)			间距(mm)
			He	D	A (max.)	C
引线插入型	3	TO-92	7.0	5.2	4.2	2.5/1.27
	3	TO-92S	4.95	4.1	1.62	2.5/1.27
扁平引线型	3	SOT-89-3	4.0	4.5	1.6	1.5
	5	SOT-89-5	4.5	4.5	1.6	1.5
双翅型	4	SC-82AB	2.1	2.0	1.1	1.3
	5	SC-88A	2.1	2.0	1.1	0.65
	3	SOT-23-3	2.8	2.9	1.3	1.9
	3	SOT-23-3S	2.8	2.9	1.2	1.9
	3	TSOT-23-3S	2.85	2.9	0.8	1.9
	5	SOT-23-5	2.8	2.9	1.3	0.95
	6	SOT-23-6	2.8	2.9	1.35	0.95
	6	SOT-23-6W	2.8	2.9	1.3	0.95
	8	8-Pin SOP (JEDEC)	6.0	5.02	1.75	1.27
	8	8-Pin TSSOP	6.4	3.0	1.1	0.65
	8	8-Pin TSSOP	6.4	3.0	1.1	0.65
	16	16-Pin TSSOP	6.4	5.1	1.1	0.65
	20	20-Pin TSSOP	6.4	6.5	1.2	0.65
	24	24-Pin SSOP	7.6	7.9	1.4	0.65
	8	TMSOP-8	4.0	2.9	0.8	0.65
	8	HTMSOP-8	4.0	2.9	0.8	0.65
	16	HTSSOP-16	6.4	5.12	1.1	0.65
	6	HSOP-6	6.0	5.02	1.75	1.91
	8	HSOP-8A	6.0	5.02	1.68	1.27
	8	HSOP-8A	6.0	5.02	1.65	1.27
	8	HSOP-8Q	6.0	5.02	1.68	1.27
	5	TO-252-5S(A)	6.5	6.5	1.4	1.27
	9	TO-252-9S	6.5	6.5	1.4	0.65

封装类型	引脚数	封装名称	封装尺寸(mm)			间距(mm)
			He	D	A (max.)	C
无引线型	6	6-Pin HSON(A)	3.0	2.9	0.9	0.95
	6	SON-6C	2.55	1.56	0.65	0.5
	4	SNT-4A	1.6	1.2	0.5	0.65
	6	SNT-6A SNT-6A(H)	1.8	1.57	0.5	0.5
	8	SNT-8A	2.46	1.97	0.5	0.5
	4	HSNT-4(0808)	0.8	0.8	0.4	0.4
	4	HSNT-4(0808)B	0.8	0.8	0.41	0.4
	4	HSNT-4(1010)	1.0	1.0	0.4	0.65
	4	HSNT-4(1010)B	1.0	1.0	0.41	0.65
	6	HSNT-6A	2.46	1.96	0.5	0.5
	6	HSNT-6(1212)	1.2	1.2	0.4	0.4
	6	HSNT-6D (HSNT-6(1618))	1.8	1.6	0.4	0.5
	6	HSNT-6(2025)	2.46	1.96	0.5	0.5
	8	HSNT-8(1616)	1.6	1.6	0.4	0.4
	8	HSNT-8(2030)	3.0	2.0	0.5	0.5
	6	DFN-6(1414)A	1.4	1.4	0.6	0.5
	6	DFN-6(1518)A	1.8	1.5	0.33	0.5
	8	DFN-8(1616)A	1.6	1.6	0.6	0.4
	8	DFN-8(2030)	3.0	2.0	0.5	0.5
	8	DFN-8(2030)A	3.0	2.0	0.6	0.5
8	DFN-8(2030)B	3.0	2.0	0.8	0.5	

备注 有关详细的WLP封装产品, 请向代理商咨询。



注意事项

- 本产品目录有可能未经预告而更改内容。
- 未经本公司许可，严禁将本产品目录的一部分或全部内容进行转载、复制等来用于其他目的。
- 本产品目录所登载的产品照片由于是印刷品，与实际产品相比，色彩可能稍有偏差。使用时请事先确认。
- 本产品目录上所登载的电路和使用方法仅供参考。对因这些资料所引起的对第三者的权利（包括知识产权）的侵犯或损害，本公司不予以任何保证。另外，本产品目录并非是对第三者或本公司的知识产权的实施权的许可。
- 本产品目录所登载产品，如果属于“外汇及外国贸易法”所规定的限制货物（或劳务），则必须取得该法规所规定的出口许可。
- 本产品目录所登载的产品未经本公司书面许可，不得作为健康器械、医疗器械、防灾器械、瓦斯关联器械、车辆器械、车载器械、航空器械、太空器械及核电关联器械等对人体产生影响的器械或装置部件使用。
- 本产品目录所记载的产品，非耐放射线设计产品。
- 本公司已为提高品质、可靠性作了最大的努力，但是半导体产品有可能按照一定的概率发生故障或错误工作。为防止因故障或错误工作而产生的人身事故、火灾事故和社会损害等，请用户在安全设计上予以足够的重视，采取诸如冗余设计、延烧对策设计和防止错误工作设计等措施。



更小型。更节能。更安全方便。

具备以钟表制造业培育的低消耗电流、低电压工作和超小型封装技术。拥有满足严格的车载基准、高质量及高信赖性的精湛工艺。艾普凌科有限公司的半导体解决方案为世界带来超越客户及社会期待的感动。



艾普凌科有限公司

www.ablic.com

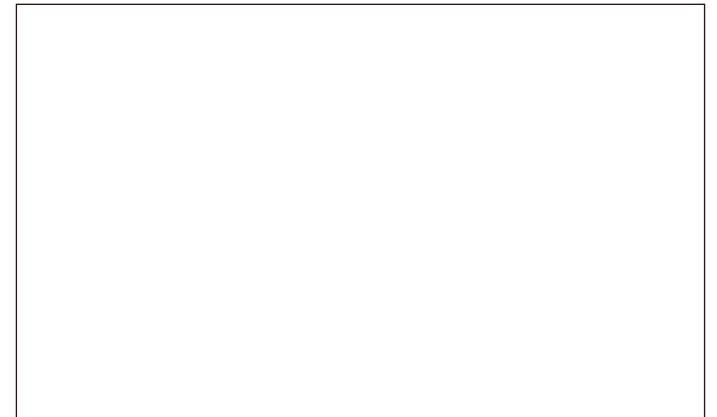
咨询处

www.ablic.com/en/semicon/sales/



2023年3月发行

艾普凌科有限公司是美蓓亚三美株式会社集团公司的成员。



本目录内容在改进产品时，有可能未经预告而有所更改。